

ห้องสมุดงานวิจัย สำนักงานคณะกรรมการการวิจัยแห่งชาติ



208822



ประชุมวิชาการระดับประเทศ ปีที่ 1 ในการพัฒนาและประเมินคุณภาพ (แม่แบบมีชีวิต)

ในการกำจัดสารอินทรีย์ ในน้ำขี้น้ำราств์จากน้ำมันเชื้อเพลิงในเชื้อเพลิง

ที่ใช้甘蔗蜜เป็นต้นตอ

EFFICIENCY OF ANAEROBIC MIGRATING BLANKET REACTOR SYSTEM (AMBR)

FOR TREATING ORGANIC POLLUTANTS FROM ETHANOL INDUSTRIAL

WASTEWATER USING MOLASSES AS RAW MATERIALS

นพดล ภิรัตน์

วิทยานิพนธ์ปริญญาโท สาขาวิชาเคมีและเคมีวิศวกรรมศาสตร์

มหาวิทยาลัยเกษตรศาสตร์

บ.ศ. 2554

b00257089

ห้องสมุดงานวิจัย สำนักงานคณะกรรมการการวิจัยแห่งชาติ



208822



ประสิทธิภาพของระบบแอนาโรบิกไม่เกรททิ้งแบล็คเก็ตเรกเกอร์ (เออเอนบีอาร์)
ในการกำจัดสารอินทรีย์ ในน้ำเสียจากโรงงานผลิตเอทานอล
ที่ใช้กากน้ำตาลเป็นวัตถุดิบ

EFFICIENCY OF ANAEROBIC MIGRATING BLANKET REACTOR SYSTEM (AMBR)
FOR TREATING ORGANIC POLLUTANTS FROM ETHANOL INDUSTRIAL
WASTEWATER USING MOLASSES AS RAW MATERIALS



นางสาวสนา กิตติวัฒน์

วิทยานิพนธ์ปริญญาสาขาวารณสุขศาสตรมหาบัณฑิต
มหาวิทยาลัยขอนแก่น

พ.ศ. 2554

b00259079

ประสิทธิภาพของระบบแอนแอร์บิกไม่เกรทติงแบลลงค์เก็ต里的เอกสาร (เออีมบีอาร์)
ในการจำกัดสารอินทรีย์ในน้ำเสียจากโรงงานผลิตเอทานอล
ที่ใช้กากน้ำตาลเป็นวัตถุดิน

นางสาวนา กิตติวัฒน์

วิทยานิพนธ์นี้เป็นส่วนหนึ่งของการศึกษาตามหลักสูตรปริญญาสาขาวารณสุขศาสตรมหาบัณฑิต
สาขาวิชาอนามัยสิ่งแวดล้อม
บัณฑิตวิทยาลัย มหาวิทยาลัยขอนแก่น

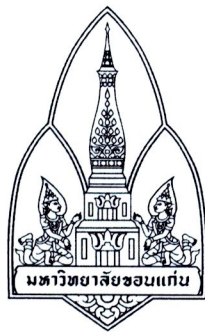
พ.ศ. 2554

**EFFICIENCY OF ANAEROBIC MIGRATING BLANKET REACTOR SYSTEM (AMBR)
FOR TREATING ORGANIC POLLUTANTS FROM ETHANOL INDUSTRIAL
WASTEWATER USING MOLASSES AS RAW MATERIALS**

MRS. WASSANA KITTIWAT

**A THESIS SUBMITTED IN PARTIAL FULFILLMENT OF THE REQUIREMENTS
FOR THE DEGREE OF MASTER OF PUBLIC HEALTH
IN ENVIRONMENTAL HEALTH
GRADUATE SCHOOL KHON KAEN UNIVERSITY**

2011



ใบรับรองวิทยานิพนธ์
มหาวิทยาลัยขอนแก่น
หลักสูตร
สาขาวรรณสุขศาสตร์มหาบัณฑิต
สาขาวิชาอนามัยสิ่งแวดล้อม

ชื่อวิทยานิพนธ์: ประสิทธิชิภาพของระบบแอนดรอยบิคไม่เกรทติงแบล็คเก็ตเรียลแอคเตอร์ (เออีมีอาร์) ในการกำจัดสารอินทรีย์ในน้ำเสียจากโรงงานผลิตเอทานอลที่ใช้กากน้ำตาลเป็นวัตถุคุณภาพ

ชื่อผู้ทำวิทยานิพนธ์: นางสาวนา กิตติวัฒน์

คณะกรรมการสอบวิทยานิพนธ์: ดร. ชัชชาติ แจ่มใส^{ประธานกรรมการสอบ}
พศ. ดร. กาญจนิศา กรองธรรมชาติ^{กรรมการสอบ}
ดร. สมชาย ควรรัตน์^{กรรมการสอบ}

อาจารย์ที่ปรึกษาวิทยานิพนธ์ :

อาจารย์ที่ปรึกษา

(ผู้ช่วยศาสตราจารย์ ดร. กาญจนิศา กรองธรรมชาติ)

.....
(รองศาสตราจารย์ ดร. สำราญ แม่นมาศย์)

คณบดีบัณฑิตวิทยาลัย

.....
(รองศาสตราจารย์พิมพ์ อุตตมะเวทิน)

คณบดีคณะสาขาวรรณสุขศาสตร์

ลิขสิทธิ์ของมหาวิทยาลัยขอนแก่น

วารสาร กิตติวัฒน์. 2554. ประสิทธิภาพของระบบแอนแอโรบิกในเกรทติงแบล็งค์เก็ต里的แอคเตอร์ (แอร์บิกบีโาร์) ในการกำจัดสารอินทรีย์ในน้ำเสียจากโรงงานผลิตเอทานอลที่ใช้กาแกน้ำตาล เป็นวัตถุดิบ. วิทยานิพนธ์ปริญญาสาขาวิชาสุขศาสตร์มหาบัณฑิต สาขาวิชาอนามัยสิ่งแวดล้อม บัณฑิตวิทยาลัย มหาวิทยาลัยขอนแก่น.

อาจารย์ที่ปรึกษาวิทยานิพนธ์: ผู้ช่วยศาสตราจารย์ ดร. กาญจนิภา คงธรรมชาติ

บทคัดย่อ

208822

การวิจัยนี้ มีวัตถุประสงค์เพื่อศึกษาประสิทธิภาพของระบบแอนแอโรบิกในเกรทติงแบล็งค์เก็ต里的แอคเตอร์ (Anaerobic Migrating Blanket Reactor System : AMBR) ในการบำบัดสารอินทรีย์ ในน้ำเสียโรงงานผลิตเอทานอลระดับห้องปฏิบัติการ โดยใช้ดังปัจจัยเรื่องแอร์บิกปริมาณ 22.5 ลิตร ตากอนหัวเชื้อเริ่มต้นเป็นตากอนเม็ดความเข้มข้น 30,000 มิลลิกรัม/ลิตร ดำเนินระบบที่ระยะเวลา กักพักชลศาสตร์ (Hydraulic Retention Time ; HRT) 144 ชั่วโมง ที่ค่ากระบวนการบรรเทา อินทรีย์ (Organic Loading Rates : OLRs) 0.83, 1.67, 2.50, 3.75 และ 5.83 กรัมซีโอดีทั้งหมด/ลิตร-วัน

ผลการศึกษา พบว่า ที่ระยะเวลา กักเก็บน้ำ 144 ชั่วโมง และที่ค่ากระบวนการบรรเทา อินทรีย์ 0.83, 1.67, 2.50, 3.75 และ 5.83 กรัมซีโอดีทั้งหมด/ลิตร-วัน ระบบมีประสิทธิภาพในการกำจัดซีโอดี ทั้งหมด สูงสุดร้อยละ 85.55, 57.33, 55.84, 56.11 และ 55.43 ตามลำดับ และประสิทธิภาพในการ กำจัดบีโอดีสูงสุดที่ค่ากระบวนการบรรเทา อินทรีย์ 0.83, 1.67, 2.50, 3.75 และ 5.83 กรัมซีโอดีทั้งหมด/ ลิตร-วัน เท่ากับ 92.48, 92.21, 88.44, 84.39 และ 85.77% ตามลำดับ และพบว่าระบบแอร์บิก มีประสิทธิภาพสูงสุดในการกำจัดของแข็ง เช่น ลอหะและของแข็ง เช่น โลหะเหลี่ยมง่ายที่ค่ากระบวนการบรรเทา อินทรีย์ 1.67 กรัมซีโอดีทั้งหมด/ลิตร-วัน เท่ากับร้อยละ 47.39 และ 48.22 ตามลำดับ พบว่าอุณหภูมิโดยเฉลี่ยลดลดการดำเนินระบบเท่ากับ 31.2 องศาเซลเซียส ค่า pH โดยเฉลี่ยใน น้ำเสียเข้าและออกจากระบบมีค่าอยู่ระหว่าง 6.5 -7.2 และ 7.5 – 8.6 ตามลำดับ และนอกจากนี้ ปริมาณความเข้มข้นของคราบไขมันระเหยง่ายโดยเฉลี่ยในน้ำเสียที่ออกจากระบบบำบัดมีค่าระหว่าง 153.02 - 1,156.93 มิลลิกรัม/ลิตร วัดในรูปกรดอะซิติก พ布ว่าความสามารถของจุลินทรีย์ผลิตเมทีเคน หรือค่า SMA มีค่าเท่ากับ 0.0050 กรัมเมทีเคน-ซีโอดี/กรัมวีเอสเอส-วัน จากการทดลองความเป็นพิษ ของน้ำเสียจากการผลิตเอทานอลต่อตากอนจุลินทรีย์ที่ความเข้มข้นซีโอดีทั้งหมด 15,000, 37,500

208822

และ 60,000 มิลลิกรัม/ลิตร พบว่า น้ำเสียที่ระดับความเข้มข้นซีไอดีทั้งหมดเท่ากับ 60,000 มิลลิกรัม/ลิตร มีความเป็นพิษต่อตะกอนจุลินทรีย์ โดยมีค่า SMA เท่ากับ 0.0036 กรัมมีเทน-ซีไอดี/กรัมวีเอส เอส-วัน เม็ดตะกอนจุลินทรีย์ก่อนการทดลองมีลักษณะเป็นเม็ดกลม มีสีน้ำตาลเทา มีเส้นผ่าศูนย์กลางประมาณ 2.0 - 3.0 มิลลิเมตร ผิวค้านนอกพบจุลินทรีย์ที่หลายชนิด อาทิ แบนท่อน เกลียว กลม สายขาว เส้นไข เมื่อสืบสุคการทดลองเม็ดตะกอนจุลินทรีย์หลังการดำเนินระบบมีลักษณะเป็นเม็ดกลม มีสีน้ำตาลเข้มดำ ผิวเรียบและมันเงาขนาดเม็ดตะกอนจุลินทรีย์โดยรวมจะเล็กลง มีเส้นผ่าศูนย์กลางประมาณ 0.8 - 2.5 มิลลิเมตร ผิวค้านนอกพบปริมาณของจุลินทรีย์ที่มีลักษณะ เป็นเส้นไขมีจำนวนลดลง แต่พบจุลินทรีย์ที่มีรูปร่างลักษณะเป็นท่อนยาวมีจำนวนเพิ่มมากขึ้น คาด ว่า น่าจะเป็นจุลินทรีย์กลุ่ม Clostridium ส่วนโครงสร้างภายในแกนกลางของเม็ดตะกอนจุลินทรีย์ พบเฉพาะจุลินทรีย์ที่มีรูปร่างลักษณะเป็นท่อนยาวคาดว่า น่าจะเป็นจุลินทรีย์ผลิตมีเทนที่มีชื่อเรียกว่า *Methanotrix* และระบบมีปริมาณการเกิดกําชีวภาพและกําชีวนีเทนโดยเฉลี่ยอยู่ระหว่าง 8.63 – 35.65 และ 5.92 – 24.45 ลิตร/วัน ตามลำดับ พบว่า ใน 1 วันระบบเอื้อมีอาร์มีความสามารถนำสารอินทรีย์ปริมาตร 1 กรัมซีไอดีไปสร้างมีเทนได้เฉลี่ย 0.361 ลิตร

Wassana Kittiwat. 2011. **Efficiency of Anaerobic Migrating Blanket Reactor System (AMBR) for Treating Organic Pollutants from Ethanol Industrial Wastewater Using Molasses as Raw Materials.** Master of Public Health Thesis in Environment Health, Graduate School, Khon Kean University.

Thesis Advisor: Asst. Prof. Dr. Kannitha Krongthamchat

ABSTRACT

208822

The aim of this research was to investigate the efficiency of laboratory-scale Anaerobic Migrating Blanket Reactor (AMBR) to remove organic pollutants from an ethanol industrial wastewater. The AMBR had the working volume of 22.5 liters. The anaerobic granular sludge was inoculated into the reactor at the concentration of 30,000 mg/l. The AMBR was operated at hydraulic retention times (HRT) of 144 hours at the organic loading rates (OLRs) of 0.83, 1.67, 2.5, 3.75 and 5.83 gCOD/L-d.

The result showed that at the HRT of 144 hours with the OLRs 0.83, 1.67, 2.5, 3.75 and 5.83 gCOD/L-d, the maximum total COD efficiencies were 85.55, 57.33, 55.84, 56.11 and 55.43%, respectively. The highest BOD reduction efficiency when treating wastewater at the OLRs 0.83, 1.67, 2.5, 3.75 and 5.83 gCOD/L-d were 92.48, 92.21, 88.44, 84.39 and 85.77%, respectively. The highest of suspended solids and the volatile suspended solids reduction efficiency at the OLRs 1.67 gCOD/L-d were 47.39 and 48.22%, respectively. The average temperature in this experiment was 31.2 °C. The influent and effluent pH were between 6.5-7.2 and 7.5 – 8.6, respectively. Furthermore, the average effluent volatile fatty acids or concentration was between 153.02 - 1,156.93 mg/L as acetic acids, respectively. The experiment also showed the Specific Methanogenic Activity (SMA) value was 0.0050 gCH₄-COD/gVSS-day. The toxicity of wastewater was tested at the concentration of 15,000, 37,500 and 60,000 mgTCOD/L, It indicated that the total COD of 60,000 ml/L was toxic to the microorganisms and the SMA was 0.0036 gCH₄-COD/gVSS-day. The characteristic of granular sludge before starting was sphere shape, light-brown in color and 2.0 – 3.0 mm. in diameter. The internal granular sludge had rod,

208822

sphere and filamentous shape. After the end of experiment, the granules were round shape, black in color and 0.8-2.5 mm. in diameter. The inside granular biomass found more rod shape and had the bigger size which could expected to Clostridium group. The internal biomass structure showed that granular was the rod shape. It expected that this microorganisms were *Methanotrix*. The biogas and methane production from the system was approximately 8.63-35.65 L/d and 5.92-24.45 L/d, respectively. The AMBR was able to produce the average methane around 0.361 gCH₄ -TCOD_{removed} -day.

งานวิทยานิพนธ์นี้ขอมอบส่วนดีเด่นพิการ และคณาจารย์

กิตติกรรมประกาศ

วิทยานิพนธ์ฉบับนี้ สำเร็จลุล่วงด้วยดีด้วยความกรุณาและความช่วยเหลืออย่างดีอีกจากผู้ช่วยศาสตราจารย์ ดร. กานูนิตา คงธรรมชาติ อาจารย์ที่ปรึกษาหลักวิทยานิพนธ์ และ ดร. สมชาย ควรรัตน์ ผู้ทรงคุณวุฒิจากสถาบันวิจัยวิทยาศาสตร์และเทคโนโลยีแห่งประเทศไทย (วว.) ที่ได้กรุณาให้คำแนะนำ คำปรึกษา และข้อคิดเห็นที่เป็นประโยชน์ ตลอดจนช่วยตรวจสอบแก่ไขข้อบกพร่องต่าง ๆ ของวิทยานิพนธ์ ด้วยความเอาใจใส่เป็นอย่างดี

ขอขอบพระคุณคณาจารย์ประจำหลักสูตรสาธารณสุขศาสตรมหาบัณฑิต คณะสาธารณสุขศาสตร์ มหาวิทยาลัยขอนแก่น ทุกท่าน ที่กรุณาประสิทธิ์ประสาทความรู้และประสบการณ์อันมีคุณค่าสูงยิ่งแก่ผู้วิจัย

ขอขอบพระคุณ อาจารย์ ดร. ชัชชาติ แจ่มใส ประธานกรรมการสอบวิทยานิพนธ์ และ ดร. สมชาย ควรรัตน์ ผู้ทรงคุณวุฒิภายในมหาวิทยาลัย ที่ได้เสียสละเวลาร่วมเป็นกรรมการสอบวิทยานิพนธ์ รวมทั้งตรวจสอบข้อมูลและให้คำแนะนำแก่ผู้วิจัย ทำให้วิทยานิพนธ์ฉบับนี้สมบูรณ์ยิ่งขึ้น

ขอขอบพระคุณ สถาบันวิจัยวิทยาศาสตร์และเทคโนโลยีแห่งประเทศไทย (วว.) ที่ให้การสนับสนุนทรัพยากร และทุนการศึกษาวิจัยจาก โครงการสร้างภาคีในการผลิตบัณฑิตระดับปริญญาโท – เอก แก่สถาบันการศึกษา ขอบพระคุณโรงพยาบาลไทยแอคคอร์ด จำกัด (มหาชน) จังหวัดปทุมธานี และคณะเจ้าหน้าที่ที่อำนวยความสะดวกให้เข้าเยี่ยมชมโรงพยาบาล และให้ความอนุเคราะห์ตัวอย่างน้ำเสียเพื่อนำมาทำการวิจัย และขอบพระคุณบัณฑิตวิทยาลัย มหาวิทยาลัยขอนแก่น ที่ให้การสนับสนุนค่าลงทะเบียนในการนำเสนอผลงานในโครงการสนับสนุน และเผยแพร่ผลงานวิจัย การประชุมเสนอผลงานวิจัย ระดับบัณฑิตศึกษาแห่งชาติ ครั้งที่ 10 ณ มหาวิทยาลัยสุโขทัยธรรมาธิราช จังหวัดนนทบุรี รวมทั้งขอบคุณพี่ ๆ เพื่อน ๆ นักศึกษาปริญญาโทสาขาวิชาภาควิชาอนามัยสิ่งแวดล้อมทุกท่านที่ให้ความช่วยเหลือ และให้กำลังใจตลอดระยะเวลาการศึกษา

สุดท้ายนี้ ผู้วิจัยขอกราบขอบพระคุณผู้ให้กำเนิดรวมถึงครอบครัว ผู้ที่ให้ความรัก ความหวัง ดี ความห่วงใย เป็นกำลังใจและแรงบันดาลใจให้ความช่วยเหลือต่าง ๆ จนผู้วิจัยสามารถสำเร็จการศึกษา ความดีและประโยชน์ใด ๆ ที่ได้รับจากวิทยานิพนธ์นี้ ผู้วิจัยขอขอบคุณบุคลากร 侔ราดา และคณาจารย์ทุกท่าน ที่ได้ประสิทธิ์ประสาทความรู้ ตลอดระยะเวลาการศึกษา

สารบัญ

	หน้า
บทคัดย่อภาษาไทย	ก
บทคัดย่อภาษาอังกฤษ	ค
คำอุทิศ	จ
กิตติกรรมประกาศ	ฉ
สารบัญตาราง	ฉ
สารบัญภาพ	ชู
บทที่ 1 บทนำ	1
1. ความเป็นมาและความสำคัญของปัญหา	1
2. คำอ่านงานวิจัย	3
3. วัตถุประสงค์	3
4. ขอบเขตของการวิจัย	3
5. คำจำกัดความที่ใช้ในการวิจัย	4
6. ประโยชน์ที่ได้รับ	4
บทที่ 2 วรรณกรรมและงานวิจัยที่เกี่ยวข้อง	5
1. การย่อystลายเซลลูโลสในพืช	5
2. กระบวนการชีวเคมีของการผลิตเอทานอล	7
3. ปัจจัยที่มีผลต่อกระบวนการผลิตเอทานอล	15
4. การใช้ประโยชน์ผลพลอยได้จากการกระบวนการผลิตเอทานอล	16
5. กระบวนการย่อystลายสารอินทรีย์ในระบบบำบัดแบบไม่ใช้ออกซิเจน	19
6. ปัจจัยที่มีผลต่อการทำงานของระบบบำบัดแบบไม่ใช้ออกซิเจน	20
7. ระบบบำบัดน้ำเสียทางชีวภาพ	26
8. ข้อดีระบบบำบัดน้ำเสียด้วยวิธีชีวิยาแบบไม่ใช้ออกซิเจน	30
9. ข้อเสียระบบบำบัดน้ำเสียด้วยวิธีชีวิยาแบบไม่ใช้ออกซิเจน	30
10. ระบบเออเรียนเบิร์ก	30
11. ลักษณะสมบัติของเม็ดตะกอนจุลินทรีย์	32
12. งานวิจัยที่เกี่ยวข้อง	34

สารบัญ (ต่อ)

บทที่ ๓ วิธีดำเนินการวิจัย	36
1. รูปแบบการศึกษา	36
2. ตัวแปรที่ศึกษา	36
3. เครื่องมือ อุปกรณ์ และสารเคมีที่ใช้ในการวิจัย	37
4. น้ำเสียที่ใช้ในการทดลอง	38
5. ตะกอนจุลินทรีย์ที่ใช้ในการทดลอง	38
6. วิธีดำเนินการทดลอง	39
7. ผังการทดลอง	46
บทที่ ๔ ผลการวิจัยและอภิปรายผล	47
1. ผลจากขั้นเตรียมการทดลอง	48
2. ผลจากขั้นการทดลอง	48
3. ผลการศึกษาถักยณะทางกายภาพของเม็ดตะกอนจุลินทรีย์ที่ใช้ในการบำบัด	72
4. ปริมาณก้าชีวภาพและก้าชีวมีเทนจากการบำบัดน้ำเสีย	81
บทที่ ๕ สรุปผลการวิจัยและข้อเสนอแนะ	85
1. สรุปผลการศึกษา	85
2. ข้อเสนอแนะ	87
เอกสารอ้างอิง	89
ภาคผนวก	93
ภาคผนวก ก อุปกรณ์แบบจำลองระบบเออีมบีอาร์ในห้องปฏิบัติการ	94
ภาคผนวก ข วิธีวิเคราะห์สภาพความเป็นค่าเฉลี่ยและกรดไขมันระเหยง่าย	98
ภาคผนวก ก การคำนวณค่า SMA เพื่อประเมินความเป็นพิษของน้ำเสียต่อจุลินทรีย์	101
ภาคผนวก ง การคำนวณการเติมตะกอนจุลินทรีย์เข้าสู่ระบบเออีมบีอาร์ และการคำนวณการเติมตะกอนจุลินทรีย์เพื่อศึกษาค่า SMA	105
ภาคผนวก จ ตารางแสดงผลการทดลองค่าบีโอดีและค่าซีโอดีที่ HRT 144 ชั่วโมง ที่ OLR 0.83, 1.67, 2.50, 3.75 และ 5.83 กรัมซีโอดีทั้งหมด/ลิตร-วัน	108
ภาคผนวก ฉ การคำนวณอัตราการเจริญเติบโตสูงชี้ของจุลินทรีย์	126

สารบัญตาราง

	หน้า
ตารางที่ 1 ธาตุอาหารที่สำคัญอยู่ในตัวแบคทีเรียไม่ใช้อกซิเจน	24
ตารางที่ 2 ผลของแอมโมเนียในโตรเจนที่มีต่อระบบบำบัดน้ำเสียแบบไม่ใช้อกซิเจน	25
ตารางที่ 3 ค่าการทำงานของระบบເອເີມນິອາຣ໌	40
ตารางที่ 4 แผนการเก็บตัวอย่างน้ำเพื่อการตรวจวิเคราะห์	40
ตารางที่ 5 ส่วนประกอบของน้ำเสียสังเคาะຮ໌ สูตร Vanderbilt Media Solusion	42
ตารางที่ 6 ระยะเวลาກักเก็บน้ำและค่าการบรรทุกที่ใช้ในการทดลอง	47
ตารางที่ 7 ลักษณะสมบัติของน้ำเสียจากกระบวนการผลิตเอทานอลจากโรงงาน	48
ตารางที่ 8 ลักษณะคุณสมบัติของน้ำเสียที่นำเข้าสู่ระบบบำบัดເອເີມນິອາຣ໌	49
ตารางที่ 9 ค่าเฉลี่ยของ TCOD และ SCOD ในน้ำเสียเข้าและออกจากระบบในช่วง สภาวะคงที่ของการบำบัดน้ำเสีย 3 รอบ HRT ที่ OLR 0.83, 1.67, 2.50, 3.75 และ 5.83 กรัมซีໂອດี/ทั้งหมด/ลิตร-วัน	50
ตารางที่ 10 ค่าเฉลี่ยของນິໂອດີ ในน้ำเสียเข้าและออกจากระบบในช่วงสภาวะคงที่ของการ บำบัดน้ำเสีย 3 รอบ HRT ที่ OLR 0.83, 1.67, 2.50, 3.75 และ 5.83 กรัมซีໂອດີ ทั้งหมด/ลิตร-วัน	53
ตารางที่ 11 ค่าเฉลี่ยของ TKN ในน้ำเสียที่เข้าระบบและออกจากระบบในช่วงสภาวะคงที่ ของการบำบัดน้ำเสีย 3 รอบ HRT ที่ OLR 0.83, 1.67, 2.50, 3.75 และ 5.83 กรัมซีໂອດີ ทั้งหมด/ลิตร-วัน	56
ตารางที่ 12 ค่าร้อยละเฉลี่ยประสิทธิภาพการกำจัด SS และ VSS ของการบำบัดน้ำเสีย ในช่วงสภาวะคงที่ของ การบำบัดน้ำเสีย 3 รอบ HRT ที่ OLR 0.83, 1.67, 2.50, 3.75 และ 5.83 กรัมซีໂອດີ/ทั้งหมด/ลิตร-วัน	57
ตารางที่ 13 ความเข้มข้นเฉลี่ย TS และ TVS ในน้ำเสียที่เข้าและออกจากระบบในช่วงสภาวะ คงที่ของการบำบัดน้ำเสีย 3 รอบ HRT ที่ OLR 0.83, 1.67, 2.50, 3.75 และ 5.83 กรัมซีໂອດີ ทั้งหมด/ลิตร-วัน	58
ตารางที่ 14 ความเข้มข้นเฉลี่ย SS และ VSS ในน้ำเสียที่เข้าและออกจากระบบในช่วงสภาวะ คงที่ของการบำบัดน้ำเสีย 3 รอบ HRT ที่ OLR 0.83, 1.67, 2.50, 3.75 และ 5.83 กรัมซีໂອດີ ทั้งหมด/ลิตร-วัน	58

สารบัญตาราง (ต่อ)

	หน้า
ตารางที่ 15 ค่า pH ในน้ำเสียเข้าระบบและออกจากระบบ ที่ HRT 144 ชั่วโมง ที่ OLR 0.83, 1.67, 2.50, 3.75 และ 5.83 กรัมซีโอดี ทั้งหมด/ลิตร-วัน	64
ตารางที่ 16 ช่วงและค่าเฉลี่ยของ VFAs ของน้ำเสียเข้าระบบและออกจากระบบในช่วง สภาวะคงที่ของ การนำบัดน้ำเสีย3รอบ HRT ที่ OLR 0.83, 1.67, 2.50, 3.75 และ 5.83 กรัมซีโอดี ทั้งหมด/ลิตร-วัน	66
ตารางที่ 17 ช่วงและค่าเฉลี่ยของ ALK ของน้ำเสียเข้าระบบและออกจากระบบในช่วง สภาวะคงที่ของการนำบัดน้ำเสีย3รอบ HRT ที่ OLR 0.83, 1.67, 2.50, 3.75 และ 5.83 กรัมซีโอดี ทั้งหมด/ลิตร-วัน	68
ตารางที่ 18 อัตราส่วนครดไขมันระเหยต่อค่าสภาพความเป็นค่าง (VFAs/ALK)	71
ตารางที่ 19 ค่า SMA เพื่อประเมินความเป็นพิษต่อจุลินทรีย์ของน้ำเสียจากโรงงานผลิต เอทานอลที่ใช้กากน้ำตาลเป็นวัตถุคุณ	75
ตารางที่ 20 ปริมาณก้าชีวภาพและก้ามนีแทนเฉลี่ยที่เกิดขึ้นเมื่อระบบเข้าสู่สภาวะคงที่ ที่ HRT 144 ชั่วโมง ที่ OLR 0.83, 1.67, 2.50, 3.75 และ 5.83 กรัมซีโอดี ทั้งหมด/ลิตร-วัน	82
ตารางที่ 21 การเปลี่ยนความเข้มข้นของน้ำเสียแต่ละระบบบรรทุกเมื่อระบบอยู่ในสภาวะ คงที่	84
ตารางที่ 22 ค่าบีโอดีในน้ำเสียเข้าและออกจากระบบท่อเอ็นบีอาร์ และประสิทธิภาพ ในการกำจัดบีโอดีที่ค่าภาระบรรทุกสารอินทรีย์ 0.83 กรัมซีโอดีทั้งหมด/ ลิตร-วัน	109
ตารางที่ 23 ค่าบีโอดีในน้ำเสียเข้าและออกจากระบบท่อเอ็นบีอาร์ และประสิทธิภาพ ในการกำจัดบีโอดีที่ค่าภาระบรรทุกสารอินทรีย์ 1.67 กรัมซีโอดีทั้งหมด/ ลิตร-วัน	111
ตารางที่ 24 ค่าบีโอดีในน้ำเสียเข้าและออกจากระบบท่อเอ็นบีอาร์ และประสิทธิภาพ ในการกำจัดบีโอดีที่ค่าภาระบรรทุกสารอินทรีย์ 2.50 กรัมซีโอดีทั้งหมด/ ลิตร-วัน	112

สารบัญตาราง (ต่อ)

	หน้า
ตารางที่ 25 ค่าบีโอดีในน้ำเสียเข้าและออกจากระบบเออีมบีอาร์ และประสิทธิภาพในการกำจัดบีโอดีที่ค่ากระบวนการบรรเทาอินทรีย์ 3.75 กรัมซีโอดีทั้งหมด/ลิตร-วัน	113
ตารางที่ 26 ค่าบีโอดีในน้ำเสียเข้าและออกจากระบบเออีมบีอาร์ และประสิทธิภาพในการกำจัดบีโอดีที่ค่ากระบวนการบรรเทาอินทรีย์ 5.83 กรัมซีโอดีทั้งหมด/ลิตร-วัน	114
ตารางที่ 27 ค่าซีโอดีในน้ำเสียเข้าและออกจากระบบเออีมบีอาร์ และประสิทธิภาพในการกำจัดซีโอดีที่ค่ากระบวนการบรรเทาอินทรีย์ 0.83 กรัมซีโอดีทั้งหมด/ลิตร-วัน	115
ตารางที่ 28 ค่าซีโอดีในน้ำเสียเข้าและออกจากระบบเออีมบีอาร์ และประสิทธิภาพในการกำจัดซีโอดีที่ค่ากระบวนการบรรเทาอินทรีย์ 1.67 กรัมซีโอดีทั้งหมด/ลิตร-วัน	118
ตารางที่ 29 ค่าซีโอดีในน้ำเสียเข้าและออกจากระบบเออีมบีอาร์ และประสิทธิภาพในการกำจัดซีโอดีที่ค่ากระบวนการบรรเทาอินทรีย์ 2.50 กรัมซีโอดีทั้งหมด/ลิตร-วัน	121
ตารางที่ 30 ค่าซีโอดีในน้ำเสียเข้าและออกจากระบบเออีมบีอาร์ และประสิทธิภาพในการกำจัดซีโอดีที่ค่ากระบวนการบรรเทาอินทรีย์ 3.75 กรัมซีโอดีทั้งหมด/ลิตร-วัน	123
ตารางที่ 31 ค่าซีโอดีในน้ำเสียเข้าและออกจากระบบเออีมบีอาร์ และประสิทธิภาพในการกำจัดซีโอดีที่ค่ากระบวนการบรรเทาอินทรีย์ 5.83 กรัมซีโอดีทั้งหมด/ลิตร-วัน	124
ตารางที่ 32 ค่า Yield coefficients ที่ใช้การคำนวณในช่วงอุณหภูมิต่าง ๆ	126

สารบัญภาพ

	หน้า
ภาพที่ 1 โครงสร้างของเซลลูโลส	5
ภาพที่ 2 โครงสร้างของเอมิเซลลูโลส	6
ภาพที่ 3 โครงสร้างของน้ำตาล Pyranose form และ Furanose form	6
ภาพที่ 4 โครงสร้าง Pectic acid และ Pectin	7
ภาพที่ 5 กระบวนการผลิตการทำลอกจากกากมันสำปะหลัง	13
ภาพที่ 6 กระบวนการผลิตการทำลอกจากกากน้ำตาล	14
ภาพที่ 7 ลำดับขั้นตอนของปฏิกริยาชีวเคมีที่เกิดขึ้นในการบำบัดแบบไม่ใช้อากาศ	20
ภาพที่ 8 ผลของอุณหภูมิที่มีต่ออัตราการเจริญเติบโตของเซลล์	21
ภาพที่ 9 กระบวนการเมตานอลซึ่งของจุลินทรีย์พาก Anaerobe ในการย่อยสลายสารอินทรีย์	28
ภาพที่ 10 แบบจำลองระบบເອເລີນປົວໃຈໃນຫ້ອງປົກິບຕິກາ (AMBR System Model)	31
ภาพที่ 11 แบบจำลองโครงสร้างของเม็ดตะกอนจุลินทรีย์	33
ภาพที่ 12 ระบบເອເລີນປົວໃຈໃນຫ້ອງປົກິບຕິກາหลังจากการทดสอบระบบ	39
ภาพที่ 13 รูปแบบการศึกษาประสิทธิภาพการบำบัดสารอินทรีย์ในน้ำเสียจากโรงงานผลิตการทำลอกที่ใช้กากน้ำตาลเป็นวัตถุคืนของระบบເອເລີນປົວໃຈ	46
ภาพที่ 14 ความเข้มข้นของ TCOD และ SCOD ที่เข้าและออกจากระบบ ของการบำบัดน้ำเสียในช่วงสภาวะคงที่ของ การบำบัดน้ำเสีย 3 รอบ HRT ที่ OLR 0.83, 1.67, 2.50, 3.75 และ 5.83 กรัมซีໂອດิทั้งหมด/ลิตร-วัน	51
ภาพที่ 15 ประสิทธิภาพในการกำจัด TCOD และ SCOD ของการบำบัดน้ำเสียขณะดำเนินระบบที่ HRT 144 h ที่ OLR 0.83, 1.67, 2.50, 3.75 และ 5.83 gTCOD/L-day	52
ภาพที่ 16 ความเข้มข้นของบีโอดิ ที่เข้าและออกจากระบบของการบำบัดน้ำเสียในช่วงสภาวะคงที่ของ การบำบัดน้ำเสีย 3 รอบ HRT ที่ OLR 0.83, 1.67, 2.50, 3.75 และ 5.83 กรัมซีໂອດิทั้งหมด/ลิตร-วัน	54
ภาพที่ 17 ประสิทธิภาพในการกำจัด BOD ของการบำบัดน้ำเสียขณะดำเนินระบบที่ HRT 144 h ที่ OLR 0.83, 1.67, 2.50, 3.75 และ 5.83 gTCOD/L-day	55

สารบัญภาพ (ต่อ)

	หน้า
ภาพที่ 18 ความเข้มข้น TKN ในน้ำเสียที่เข้าและออกจากระบบของการบำบัดน้ำเสียในช่วงสภาวะ คงที่ของ การบำบัดน้ำเสีย 3 รอบ HRT ที่ OLR 0.83, 1.67, 2.50, 3.75 และ 5.83 กรัมซีโอดีทั้งหมด/ลิตร-วัน	56
ภาพที่ 19 ความเข้มข้น SS ที่เข้าและออกจากระบบของการบำบัดน้ำเสีย ที่ HRT 144 h ที่ OLR 0.83, 1.67, 2.50, 3.75 และ 5.83 gTCOD/L-day	60
ภาพที่ 20 ความเข้มข้น VSS ที่เข้าและออกจากระบบของการบำบัดน้ำเสีย ที่ HRT 144 h ที่ OLR 0.83, 1.67, 2.50, 3.75 และ 5.83 gTCOD/L-day	61
ภาพที่ 21 ประสิทธิภาพในการกำจัด SS และ VSS ของการบำบัดน้ำเสีย ที่ HRT 144 h ที่ OLR 0.83, 1.67, 2.50, 3.75 และ 5.83 gTCOD/L-day	62
ภาพที่ 22 แสดงระดับอุณหภูมิกายในระบบบำบัดน้ำเสียขณะดำเนินระบบที่ HRT 144 h ที่ OLR 0.83, 1.67, 2.50, 3.75 และ 5.83 gTCOD/L-day	63
ภาพที่ 23 แสดงค่า pH ภายในระบบบำบัดน้ำเสียขณะดำเนินระบบที่ HRT 144 h ที่ OLR 0.83, 1.67, 2.50, 3.75 และ 5.83 gTCOD/L-day	65
ภาพที่ 24 ความเข้มข้น VFAs ในน้ำเสียเข้าระบบและออกจากระบบของการบำบัดน้ำเสีย ในช่วงสภาวะคงที่ของ การบำบัดน้ำเสีย 3 รอบ HRT ที่ 1.67, 2.50, 3.75 และ 5.83 กรัมซีโอดีทั้งหมด/ลิตร-วัน	66
ภาพที่ 25 ความเข้มข้น VFAs(mg/L) เข้าระบบและออกจากระบบบำบัดน้ำเสียขณะดำเนินระบบที่ HRT 144 h ที่ OLR 0.83, 1.67, 2.50, 3.75 และ 5.83 gTCOD/L-day	67
ภาพที่ 26 ความเข้มข้นของ ALK ในน้ำเสียเข้าระบบและออกจากระบบในช่วงสภาวะ คงที่ของ การบำบัดน้ำเสีย 3 รอบ HRT ที่ OLR 0.83, 1.67, 2.50, 3.75 และ 5.83 กรัมซีโอดีทั้งหมด/ลิตร-วัน	69
ภาพที่ 27 ความเข้มข้นของALK ในน้ำเสียเข้าและออกจากระบบทะดำเนินระบบที่ HRT 144 h ที่ OLR 0.83, 1.67, 2.50, 3.75 และ 5.83 gTCOD/L-day	70
ภาพที่ 28 ความสัมพันธ์ของ VFAs/ALK ในน้ำเสียเข้าระบบและออกจากระบบของการ บำบัดน้ำเสียในช่วงสภาวะคงที่ของ การบำบัดน้ำเสีย 3 รอบ HRT ที่ OLR 0.83, 1.67, 2.50, 3.75 และ 5.83 กรัมซีโอดีทั้งหมด/ลิตร-วัน	72

สารบัญภาพ (ต่อ)

	หน้า
ภาพที่ 29 ปริมาตรรากাশมีเทนสะสมต่อเวลาของการศึกษา SMA เพื่อการประเมินศักยภาพ ในการผลิตรากাশมีเทน	74
ภาพที่ 30 ภาพเม็ดตะกอนจุลินทรีย์ที่สังเกตด้วยตา	76
ภาพที่ 31 ภาพถ่ายเม็ดตะกอนจุลินทรีย์ด้วยเครื่อง SEM	77
ภาพที่ 32 ภาพถ่ายผ่าครึ่งของเม็ดตะกอนจุลินทรีย์ด้วยเครื่อง SEM	78
ภาพที่ 33 ภาพถ่ายผิวของเม็ดตะกอนจุลินทรีย์ด้วยเครื่อง SEM	79
ภาพที่ 34 ภาพขอบด้านนอกของเม็ดตะกอนจุลินทรีย์ด้วยเครื่อง SEM	80
ภาพที่ 35 ภาพแกนกลางของเม็ดตะกอนจุลินทรีย์ด้วยเครื่อง SEM	81
ภาพที่ 36 ปริมาตรการเกิดราก้าชเฉลี่ยจากการบำบัดน้ำเสียในระบบເອັ້ນປ້ອມເມື່ອระบบ ເຂົ້າສູ່ສກວະຄອງທີ່ທີ່ HRT 144 h ທີ່ OLR 0.83, 1.67, 2.50, 3.75 ແລະ 5.83 gTCOD/L-day	83
ภาพที่ 37 แบบจำลองลงปฏิกริยาระบบເອັ້ນປ້ອມປ້ອມໃນห้องปฏิบัติการ	95
ภาพที่ 38 รูปเครื่องสูบน้ำเสียເຂົ້າຮະບນແລະນໍາທຶນອອກຈາກຮະບນ	95
ภาพที่ 39 មອเตอร์គຽນຄຸມໃບກວນຂອງ IKA LABORATECHNIK	96
ภาพที่ 40 ຜູ້ວັດປຣິມາຕະກຳຊີວກາພ	96
ภาพที่ 41 ຜູ້ວັດອຸພຫຼວມ	97
ภาพที่ 42 ໂປຣແກຣມຄໍານາຜຄວາມເປັນດ່າງແລກຮຽດໄຟມັນຮະເໝງ່າຍດ້ວຍວິທີ ໄທເກຣດແບບ 3 ຈຸດ	99
ภาพที่ 43 ການວິວດາມສັນພັນທີ່ເຊີງເສັ້ນຮ່ວມມືກຳນົດກຳນົດ ກ່າວງານ	99
ภาพที่ 44 ปริมาตรรากাশมีเทนสะสมต่อเวลาและกราฟความชันสูงสุดในน้ำเสียທີ່ມີຄວາມ ເຂັ້ມງັນຂອງซີໂໂໂດຕີທັງໝາດ 15,000 ມິລືລິກຣັນ/ລິຕຣ	102
ภาพที่ 45 ปริมาตรรากাশมีเทนสะสมต่อเวลาและกราฟความชันสูงสุดในน้ำเสียທີ່ມີຄວາມ ເຂັ້ມງັນຂອງซີໂໂໂດຕີທັງໝາດ 37,500 ມິລືລິກຣັນ/ລິຕຣ	103
ภาพที่ 46 ปริมาตรรากাশมีเทนสะสมต่อเวลาและกราฟความชันสูงสุดในน้ำเสียທີ່ມີຄວາມ ເຂັ້ມງັນຂອງซີໂໂໂດຕີທັງໝາດ 60,000 ມິລືລິກຣັນ/ລິຕຣ	104
ภาพที่ 47 ຄວາມສັນພັນທີ່ຮ່ວມມືກຳນົດກຳນົດ ກຳນົດກຳນົດ	127